

ارتباط فنوتیپی و ژنتیکی سویه‌های *Pseudomonas syringae* pv. *syringae*

جدا شده از نیشکر، درختان میوه هسته‌دار و گندم*

مریم موسیوند^۱، حشمت‌اله رحیمیان^{۲*} و مسعود شمس‌بخش^۱

(تاریخ دریافت: ۱۳۸۷/۷/۸؛ تاریخ پذیرش: ۱۳۸۷/۵/۲۶)

چکیده

خصوصیات بیوشیمیایی و فیزیولوژیکی، الگوی پروتئین‌های سلولی و الگوی ژنتیکی حاصل از rep-PCR در جدایه‌های *Pseudomonas syringae* pv. *syringae* عامل بیماری نوار قرمز نیشکر با جدایه‌های عامل شانکر باکتریایی درختان میوه هسته‌دار، جدایه‌های عامل بلایت باکتریایی گندم و جدایه مولد بیماری لکه زاویه‌ای ختمی مورد بررسی قرار گرفت. همه جدایه‌های *P. s. pv. syringae* خصوصیات بیوشیمیایی مشابهی داشتند. از نظر هیدرولیز توئین ۸۰، تولید لوان از سوکروز و تولید سیرینگومایسین میان جدایه‌های *P. s. pv. syringae* عامل نوار قرمز نیشکر تنوع وجود داشت. مقایسه الگوی پروتئین‌های سلولی جدایه‌ها مشخص نمود که جدایه‌های *P. s. pv. syringae* عامل نوار قرمز نیشکر شباهت بسیار بالایی به هم داشته و در چندین باند پروتئینی با دیگر جدایه‌های *P. s. pv. syringae* تفاوت دارند. الگوی پروتئینی جدایه‌های عامل شانکر درختان میوه هسته‌دار و جدایه‌های عامل بلایت گندم بسیار مشابه و غیر قابل تفکیک بودند. تنوع درون جدایه‌های مختلف *P. s. pv. syringae* براساس اثر انگشت ژنتیکی حاصل از rep-PCR با استفاده از آغازگرهای ERIC1R, BOX A1R و ERIC2 قابل ملاحظه بود. بررسی حاضر نشان داد که از نظر ژنتیکی جدایه‌های *P. s. pv. syringae* عامل بیماری نوار قرمز نیشکر در مقایسه با جدایه‌های عامل شانکر درختان میوه هسته‌دار، بلایت باکتریایی گندم و لکه زاویه‌ای ختمی گروه جداگانه‌ای را تشکیل می‌دهند.

واژه‌های کلیدی: rep-PCR، بیماری نوار قرمز، بلایت، شانکر، ایران

مقدمه

Rutaceae به‌عنوان میزبان پاتووار *P. s. pv. syringae* گزارش شده‌اند (Hirano & Upper, 1990). با وجود این به نظر می‌رسد که پاتووار *Pss* نسبت به میزبان‌های خود اختصاصی است. تشخیص نژاد برای پاتووار *P. s. pv. glycinea* انعکاس‌دهنده تنوع جدایه‌های درون یک پاتووار در

Pseudomonas syringae pv. *syringae* (*Pss*) در میان سایر پاتووارهای گونه از نظر توانایی ایجاد بیماری در ۱۸۰ گونه گیاهی بی‌نظیر است (Liu et al. 1999). اعضای مهم خانواده‌های Oleaceae, Rosaceae, Poaceae, Fabaceae و

* : بخشی از پایان‌نامه کارشناسی ارشد نگارنده اول، ارائه شده به دانشکده کشاورزی، دانشگاه تربیت مدرس، تهران

** : مسئول مکاتبات، پست الکترونیکی: rahimianh@gmail.com

۱. به ترتیب دانش‌آموخته کارشناسی ارشد و دانشیار بیماری‌شناسی گیاهی، دانشکده کشاورزی، دانشگاه تربیت مدرس، تهران

۲. استاد بیماری‌شناسی گیاهی، دانشکده علوم زراعی، دانشگاه علوم کشاورزی و منابع طبیعی، ساری

تعامل با ارقام مختلف یک گونه میزبانی است (Hirano & Uppers 1990). از عمده‌ترین بیماری‌های ناشی از پاتووار *Pss* در ایران می‌توان به شانکر باکتریایی درختان میوه هسته‌دار (Bahar et al. 1983)، بلایت باکتریایی گندم و جو (Rahimian 1989) و نوار قرمز نیشکر (Rahimian 1995, 2004) اشاره نمود.

بیماری نوار قرمز نیشکر اولین بار از ژاپن گزارش و عامل آن پاتووار *Pss* شناسایی گردید (Yano et al. 1986). علائم بیماری شامل لکه‌های بین رگ‌برگی، خطی و گاه بیضوی، قرمز رنگ و با طول‌های متفاوت است. وسط این لکه‌ها متعاقباً به رنگ سفید یا سفید مایل به کرم در می‌آید. علائم بیماری روی برگ‌های جوان و پیر قابل مشاهده می‌باشد. عرض لکه‌ها معمولاً ۱-۲ میلی‌متر و طول آنها ۲ تا بیش از ۲۰۰ میلی‌متر می‌باشد (Rahimian 1995, 2004). براساس مطالعات انجام شده مشخص شده که استرین‌های *Pss* مولد نوار قرمز نیشکر از نظر بیماری‌زایی (Rahimian 2000, 2004)، الگوی پروتئین‌های سلولی (Rahimian 1995) و هم‌چنین ساختمان سیرینگومایسین خود (Fukuchi et al. 1990) با استرین‌های *Pss* عامل شانکر درختان میوه هسته‌دار و بلایت باکتریایی گندم و جو متفاوت می‌باشند.

خانواده‌هایی از توالی‌های تکراری DNA درون ژنوم گونه‌های مختلف باکتری‌های گرم منفی و بعضی از گرم مثبت‌ها پراکنده شده‌اند. سه خانواده از توالی‌های مذکور که مورد مطالعه قرار گرفته‌اند توالی‌های REP (repetitive extragenic palindromic)، ERIC (enterobacterial repetitive intergenic consensus) و BOX می‌باشند (Hulton et al. 1991). الگوی ژنتیکی به‌دست آمده با این روش‌ها به‌عنوان یک بارکد برای هر استرین خاص باکتریایی عمل می‌نماید. مطالعات انجام شده نشان داده است که REP-PCR و ERIC-PCR روش‌های بسیار کارآمدی بوده و قادرند در سطح پاتووار یا سطوح تاکسونومیکی زیر آن، میان

باکتری‌های بیمارگر تفاوت قائل شوند (Little et al. 1998). بررسی‌های انجام شده نشان داده است که جدایه‌های *Pss* مولد نوار قرمز نیشکر با جدایه‌های *Pss* بیماری‌زا روی درختان میوه هسته‌دار، گندم و جو از نظر بیماری‌زایی، دامنه میزبانی، الگوی پروتئین‌های سلولی و ساختمان سیرینگومایسین متفاوت می‌باشند (Fukuchi et al. 1990, Rahimian 2000, 2004). جهت تعیین دقیق‌تر موقعیت تاکسونومیکی جدایه‌های *Pss* مولد نوار قرمز نیشکر، بررسی جدایه‌های مذکور از نظر ژنتیکی ضروری به نظر می‌رسد. بررسی حاضر به تعیین رابطه دقیق‌تر تاکسونومیکی جدایه‌های *Pss* عامل نوار قرمز نیشکر با جدایه‌های *Pss* عامل شانکر درختان میوه هسته‌دار و بلایت برگ‌گی گندم با استفاده از روش‌های بیوشیمیایی و مولکولی (ERIC-PCR و BOX-PCR) پرداخته است که از نتایج حاصل از آن می‌توان در تحقیقات اپیدمیولوژی مرتبط با *Pss* در میزبان‌های مختلف، بقای اپی‌فیتی و استراتژی کنترل بیماری استفاده نمود.

روش بررسی

در آبان و بهمن ماه سال ۱۳۸۲، بیش از ۶۰ نمونه برگ‌گی مشکوک به بیماری نوار قرمز از گیاهان نیشکر استان مازندران (مزارع واقع در بهنمیر، کیاکلا، جویبار و لالیم) جمع‌آوری شد. برگ‌های آلوده، ابتدا زیر جریان آب و سپس دو بار با آب مقطر سترون شسته شد. قطعاتی از حد فاصل قسمت آلوده و سالم برگ که با قیچی سترون برش داده شده بود، در داخل هاون سترون حاوی چند قطره آب مقطر سترون قرار گرفت. قطعات مذکور در داخل هاون له شدند. یک قطره از سوسپانسیون حاصله روی محیط Nutrient Agar Sucrose (NAS) (ساکارز ۵٪ و آگار مغذی ۲۳g/L) کشت داده شد. تست‌ها در دمای ۲۶±۲ °C به مدت دو تا سه روز نگهداری شدند. تک کلنی‌های ظاهر شده روی محیط KB یا NAS کشت داده شدند (Rahimian 1995). هم‌چنین جدایه‌های مربوط به درختان میوه هسته‌دار، گندم و

کاتالاز، تولید گاز H₂S از سیستین، تولید ایندول، تولید مواد احیا کننده از ساکارز، احیای نیترات، تولید اوره آز، رشد در NaCl پنج درصد، رشد در دمای ۳۷ °C و تولید هسته یخ به‌روش شاد و همکاران (Schaad et al. 2001) انجام شد. تولید سیرینگومایسین با استفاده از یک جدایه از *Geotrichum candidum* Link exFr و روش گراس و دی وی (Gross & DeVey 1977) انجام گرفت.

در آزمون‌های استفاده از اسیدهای آمینه و آلی و تولید اسید از قندهای مختلف از محیط پایه آیر (Ayer) و غلظت‌های ۱% هر قند و ۲/۰% اسیدهای آمینه آلی استفاده شد (Schaad et al. 2001).

الکتروفورز پروتئین

مقایسه نقوش پروتئین‌های سلولی جدایه‌های ساپروفیت و بیماری‌زای جدا شده از نیشکر، نماینده جدایه‌های بیماری‌زای گندم و نماینده جدایه‌های بیماری‌زای درختان میوه هسته‌دار با الکتروفورز پروتئین (SDS-PAGE) در سیستم نا پیوسته ملمی (Laemmler 1970) انجام شد. جدایه‌ها روی محیط NAS کشت داده شدند و بعد از ۲۴ ساعت سوسپانسیون از آنها در یک میلی‌لیتر از آب مقطر سترون تهیه و جذب نوری آنها در طول موج ۶۰۰ نانومتر برابر با یک تنظیم شد. مقدار ۵۰ میکرولیتر ۲- مرکاپتواتانول به ۹۵۰ میکرولیتر بافر نمونه اضافه شد. جهت تهیه بافر نمونه ۰/۷۶ گرم تریس، ۱۰ میلی‌لیتر گلیسرول، یک گرم SDS و ۰/۵ میلی‌گرم برم فنل بلو در ۴۰ میلی‌لیتر آب مقطر حل و pH محلول به ۶/۸ تنظیم گردید. حجم محلول با استفاده از آب مقطر به ۱۰۰ میلی‌لیتر رسانده شد. به‌منظور پاره کردن سلول‌ها، معادل ۰/۲ حجم سوسپانسیون (۲۰۰ میکرولیتر) از بافر نمونه به آنها اضافه شد و به مدت پنج دقیقه در یک حمام آب گرم قرار داده شد. سپس نمونه‌ها به مدت ۱۰ دقیقه در ۱۳۰۰۰×g میان‌گریز شده و روشن‌ترین حاصل جدا و به‌عنوان نمونه پروتئین در چاهک‌های ژل اکریل آمید ریخته شد. الکتروفورز در جریان ثابت ۲۰

جو و جدایه‌های ختمی برای بررسی مقایسه‌ای با کشت و انتخاب تک کلنی روی NAS خالص گردیدند. بیماری‌زایی جدایه‌های Pss نیشکر روی گیاهان نیشکر، گندم، هلو و ختمی بررسی گردید. به این منظور از ۶ جدایه نیشکر (نماینده جدایه‌های ۶ مزرعه مورد مطالعه)، پنج جدایه از درختان میوه هسته‌دار (اهدایی مؤسسه تحقیقات گیاه‌پزشکی کشور)، یک جدایه گندم (اهدایی مؤسسه تحقیقات گیاه‌پزشکی کشور) و یک جدایه ختمی (موجود در آزمایشگاه باکتری‌شناسی دانشگاه مازندران) استفاده گردید.

بررسی ویژگی‌های بیوشیمیایی و فیزیولوژیکی جدایه‌ها

ویژگی‌های بیوشیمیایی و تغذیه‌ای جدایه‌های به‌دست آمده از نیشکر، درختان میوه هسته‌دار و گندم براساس آزمون‌های متداول جهت شناسایی پاتووار Pss مورد بررسی قرار گرفت. واکنش گرم با استفاده از روش حلالیت در KOH ۳% (Suslow et al. 1982) و رنگ‌آمیزی گرم (Schaad et al. 2001) انجام شد. آزمون فوق حساسیت در توتون به‌روش کلمنت و همکاران (Klement et al. 1964) و آزمون اکسیداز با قرار دادن گستره‌ای از کلونی روی کاغذ صافی آغشته به محلول ۰/۱ درصد تترامیل پارافینیلین دی آمین دی هیدروکلراید صورت گرفت (Schaad et al. 2001, Kovacs 1956). آزمون آرجی نین دهیدرولاز با استفاده از روش تورنلی (Schaad et al. 2001, Thornley 1960) و آزمون متیل رد، تولید استوئین، هیدرولیز نشاسته و اثر روی شیر لیتموس با روش کوان (Cowan 1974) انجام شد. آزمون هیدرولیز توئین ۸۰ بر اساس روش میثاقی و گروگان (Misaghi & Grogan 1970) و آزمون تولید لیسیتیناز با استفاده از روش شاد و همکاران (Schaad et al. 2001) صورت پذیرفت.

آزمون‌های تولید لوان و لپانیدن ورقه‌های سیب‌زمینی، هیدرولیز ژلاتین، اسکولین، آربوتین و کازئین و نیز آزمون‌های

دمای 65°C به مدت شش دقیقه انجام شده و در آخر بسط نهایی (Final extention) در 65°C به مدت ۱۵ دقیقه انجام گرفت (Versalovic et al. 1991).

واکنش PCR در دستگاه ترموسایکلر BIOMETRA انجام گرفت. الکتروفورز محصولات حاصل از PCR در ژل آگارز یک درصد به همراه یک مارکر مولکولی (Kb) $1/2-1/10$ ، شرکت Fermentas) انجام شد. بافر مورد استفاده در ژل و در محفظه الکتروفورز، TBE ($10/8$) گرم تریس، $5/5$ گرم اسید بوریک و $0/37$ گرم EDTA در یک لیتر آب مقطر) بود (Sambrook et al. 1989). مواد واکنش زنجیره‌ای پلیمراز از شرکت سینا ژن (تهران، CinaGene) تهیه گردید. ژل آگارز با اتیدیوم برماید (محلول $0/5$ میکروگرم در میلی لیتر) رنگ آمیزی و از آن عکس برداری شد. براساس وجود یا عدم وجود باند و فاصله باند از چاهک و با استفاده از نرم افزار SPSS و ضریب Simple matching تشابه جدایه‌ها محاسبه و دندروگرام ترسیم گردید.

نتیجه

نمونه برداری و جدا سازی

از برگ‌های نیشکر دارای علائم بیماری نوار قرمز، ۵۰ جدایه با خصوصیات مشابه پاتووار Pss جدا شد. کلنی‌ها روی محیط NAS، به رنگ روشن، کروی، گنبدی شکل و لعاب دار مشاهده شدند. بعد از چهار روز رشد در دمای $25-28^{\circ}\text{C}$ ، قطر کلنی‌ها ۳-۴ میلی متر بود. این کلنی‌ها روی محیط KB تولید رنگدانه فلورسنت نموده و دارای حاشیه صاف تا کمی مضرس و به رنگ کرم روشن بودند. جدایه‌های عامل بیماری نوار قرمز نیشکر پس از خالص سازی جهت اثبات بیماری زایی به برگ‌های نیشکر مایه زنی شدند. جدایه‌ها ظرف یک هفته علائم بیماری نوار قرمز را در نیشکر ایجاد نمودند. این جدایه‌ها قادر به ایجاد بیماری روی گندم، ختمی و هلو نبودند.

میلی آمپر و ولتاژ ۷۰ ولت انجام و با رسیدن رنگ برم فنل بلو به انتهای ژل پایان پذیرفت. جهت رنگ آمیزی، ژل در محلول حاوی $0/12$ درصد کوماسی بلو، ۵۰ درصد متانول و ۱۰ درصد اسید استیک به مدت ۲-۳ ساعت بر روی شیکر قرار داده شد. به منظور رنگبری و تا زمان وضوح باندهای پروتئینی، ژل در محلول ۵۰ درصد متانول - ۱۰ درصد اسید استیک قرار داده شد. سپس ژل در محلول ۷ درصد اسید استیک نگهداری و از آن عکس گرفته شد (Ausubel et al. 1987).

استخراج DNA ژنومی

استخراج DNA به روش لیز قلیایی انجام شد. دی ان آ ژنومی استخراج شده در ژل آگارز یک درصد الکتروفورز و مقدار DNA به صورت تقریبی تخمین زده شد. مقادیر مناسب از DNA ژنومی جهت انجام PCR تعیین شد (Sambrook et al. 1989).

واکنش زنجیره‌ای پلیمراز

واکنش rep-PCR با استفاده از آغازگرهای BOX AIR، ERIC1R و ERIC2 براساس روش ورسالوویک و همکاران (Versalovic et al. 1991) انجام شد. در ERIC-PCR، از آغازگر ERIC 1R با توالی 5'-ATG TAA GCT CCT GGG 3' و آغازگر ERIC2 با توالی 5'-GAT TCA C 3' و آغازگر BOX-PCR از آغازگر BOXA 1R با توالی 5'-CTA CGG 3' استفاده گردید (Schaad et al. 2001).

برنامه تکثیر DNA با واسرشت سازی اولیه (Initial denaturation) در دمای 95°C به مدت هفت دقیقه شروع و سپس ۳۳ چرخه شامل واسرشت سازی در دمای 94°C به مدت یک دقیقه، اتصال آغازگر به DNA در دمای 51°C (برای آغازگرهای ERIC 1R و ERIC 2) و دمای 53°C (برای آغازگر BOXA 1R) به مدت یک دقیقه و گسترش در

ویژگی‌های فنوتیپی و بیوشیمیایی جدایه‌ها

جدایه‌های *Pss* نیشکر، درختان میوه هسته‌دار و گندم ویژگی‌های بیوشیمیایی تقریباً مشابهی داشتند، ولی جدایه‌های *Pss* نیشکر بر خلاف سایر جدایه‌ها، قادر به استفاده از D- تارتارات بودند. هم‌چنین جدایه‌های *Pss* نیشکر در مقایسه با جدایه‌های *Pss* درختان میوه هسته‌دار و گندم با سرعت کمتری تولید لوآن نموده و میزان تحذب کلنی‌های آنها در مقایسه با جدایه‌های بیماری‌زا در درختان میوه هسته‌دار و گندم کمتر بود. برخی از جدایه‌ها در مقایسه با بقیه با سرعت کمتری تولید لوآن نمودند. تمام جدایه‌های مولد نوار قرمز نیشکر قادر به هیدرولیز توئین ۸۰ بودند، ولی تعدادی از جدایه‌ها به کندی این چربی را هیدرولیز کردند. هم‌چنین گروهی از جدایه‌های *Pss* مولد نوار قرمز نیشکر در مقایسه با سایر جدایه‌ها، هاله‌بازدارندگی رشد بزرگ‌تری را در قارچ *Geotrichum canidum* تولید نمودند. نتایج بررسی ویژگی‌های جدایه‌ها در جدول یک آمده است. به نظر می‌رسد که جدایه‌های عامل بیماری نوار قرمز نیشکر تفاوت‌های کمی ۸ در ویژگی‌های فنوتیپی با هم دارند.

الگوی پروتئین‌های سلولی جدایه‌ها

جدایه‌های *Pss* مولد نوار قرمز نیشکر (جدایه‌های نماینده از ۶ ناحیه در استان مازندران) الگوی پروتئینی مشابهی داشته و در چندین باند پروتئینی با جدایه PsM1 (نماینده جدایه‌های *Pss* عامل شانکر درختان میوه هسته‌دار) و جدایه PsG1 (نماینده جدایه‌های *Pss* عامل بلایت باکتریایی گندم) متفاوت بودند. هم‌چنین جدایه‌های PsM1 و PsG1 علی‌رغم تفاوت‌های جزئی، الگوی پروتئینی مشابهی داشتند (شکل ۱).

انگشت‌نگاری ژنتیکی DNA ژنومی حاصل از ERIC-PCR

دی ان آ ژنومی جدایه‌های *Pss* نیشکر، درختان میوه هسته‌دار، گندم و ختمی با روش ERIC-PCR و آغازگر ERIC1R تکثیر

گردید (شکل ژل نشان داده نشده است). تعداد باندهای تکثیر شده با این روش بین ۶ تا ۱۱ باند و محدوده اندازه باندها بین ۶۹۰bp تا ۵۱۴۸bp بود. نتایج به‌دست آمده از تجزیه و تحلیل خوشه‌ای نشان داد که جدایه‌های *Pss* مورد بررسی در سه گروه قرار می‌گیرند:

گروه ۱: نماینده جدایه‌های *Pss* مولد شانکر درختان میوه هسته‌دار،

گروه ۲: نماینده جدایه‌های *Pss* عامل نوارقرمز نیشکر،

گروه ۳: نماینده جدایه‌های *Pss* گندم و جدایه *Pss* ختمی خواب‌آلود (شکل ۲).

الگوی اثر قطعات حاصل از ERIC-PCR و آغازگر ERIC2

برای DNA ژنومی جدایه‌های *Pss* نیشکر، درختان میوه هسته‌دار، گندم و ختمی در شکل ۳ نشان داده شده است. تعداد باندهای تکثیر شده با این روش بین ۴ تا ۹ باند و محدوده اندازه باندها بین ۵۶ bp تا ۵۱۴۸bp بود. تجزیه و تحلیل خوشه‌ای مشخص نمود که جدایه‌های *Pss* در دو گروه قرار می‌گیرند.

گروه یک شامل نماینده جدایه‌های *Pss* مولد شانکر درختان میوه هسته‌دار، نماینده جدایه‌های *Pss* گندم و جدایه *Pss* ختمی و گروه دو شامل نماینده جدایه‌های *Pss* عامل نوارقرمز نیشکر (شکل ۴).

انگشت‌نگاری ژنتیکی DNA ژنومی حاصل از BOX-PCR

دی ان آ ژنومی جدایه‌های *Pss* نیشکر، درختان میوه هسته‌دار، گندم و ختمی با آغازگر BOXA 1R تکثیر گردید. تعداد باندهای تکثیر شده با این روش بین ۶ تا ۷ باند و محدوده اندازه آنها بین ۱۵۰bp تا ۳۵۰۷bp بود. نتایج حاصل از تجزیه و تحلیل خوشه‌ای نشان داد که جدایه‌ها در چهار گروه به شرح زیر قرار می‌گیرند:

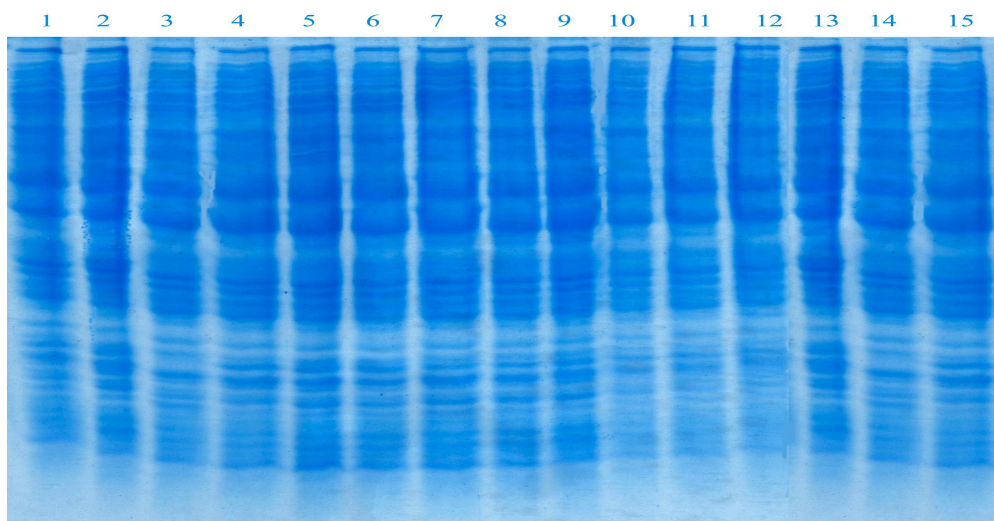
گروه ۱: نماینده جدایه‌های *Pss* مولد شانکر درختان میوه هسته‌دار

گروه ۲: جدایه *Pss* ختمی خواب‌آلود،

جدول ۱. ویژگی‌های فنوتیپی جدایه‌های *Pseudomonas syringae* pv. *syringae* جدا شده از نیشکر، درختان میوه هسته‌دار و گندم

Table 1. Phenotypic traits of *Pseudomonas syringae* pv. *syringae* strains isolated from sugarcane, stone fruit trees and wheat.

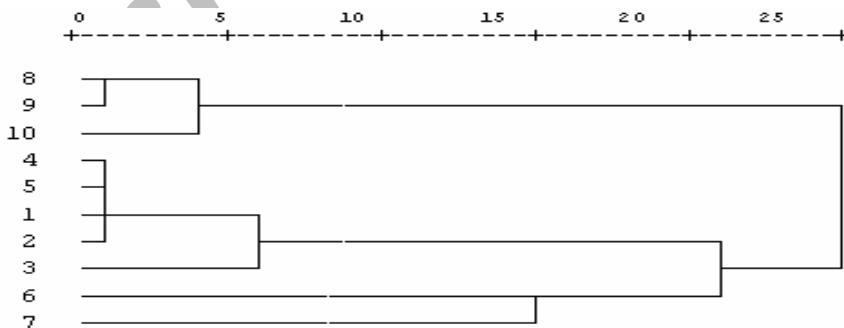
جدایه‌های گندم Isolates from wheat	جدایه‌های درختان میوه هسته‌دار Isolates from stone fruits	جدایه‌های نیشکر Isolates from sugarcane	ویژگی (Characteristics)
-	-	-	واکنش گرم (Gram reaction)
-	-	-	آرجی نین دی هیدرولیز و اکسیداز (Oxidase و Arginine dihydrolase)
+	+	+	لوان (Levan)
+	+	+	فوق حساسیت روی توتون (Tobacco hypersensitivity)
-	-	-	لهانیدن ورقه‌های سیبزمینی (Potato rot)
+	+	+	هیدرولیز اسکولین، کازئین، ژلاتین، آرپوتین و توئین ۸۰، (Hydrolysis of esculin, casein, gelatin, arbutin and Tween 80)
+	+	+	تولید مواد احیا کننده از سوکرز (Reducing sugars from sucrose)
-	-	-	تولید H ₂ S از سیستین (H ₂ S from cysteine)
-	-	-	احیای نیترات (Nitrate reduction)
-	-	-	تولید اندول و استوئین (Production of indole and acetoin)
-	-	-	هیدرولیز نشاسته (Hydrolysis of starch)
-	-	-	لسیتیناز (Lecithinase)
+	+	+	اوره آز (Urease)
قلیایی (A)	قلیایی (A)	قلیایی (A)	اثر بر شیر لیتموس (Litmus milk)
+	+	+	کاتالاز (Catalase)
+	+	+	تولید سیرینگومایسین (Syringomycine production)
+	+	+	رشد در ۵٪ NaCl (Growth in 5% NaCl)
-	-	-	رشد در ۳۷°C (Growth at 37°C)
+	+	+	تولید اسید از گلوکز، فروکتوز، زایلوز، گالاکتوز، ملی بیوز، رافینوز، سوکروز، مانوز، مانیتول، سوربیتول، ریبوز، اریتریتول، مالتوز و آرابینوز (Acid from glucose, fructose, xylose, galactose, melibiose, raffinose, sucrose, mannose, mannitol, sorbitol, erythritol, ribose, maltose and arabinose).
-	-	-	ترهالوز و آدنیتول (Trehalose, adonitol)
-	-	-	استفاده از ال-تارتارات (Utilization of (L-tartarate)
-	-	+	د-تارتارات (D-tartarate)
+	+	+	استفاده از لاکتات، ۲-کتوگلوکوتارات و سترات (lactate, 2-Ketoglutarate and citrate)



شکل ۱. مقایسه نقوش پروتئینی جدایه‌های Pss بیماری‌زا در نیشکر، درختان میوه هسته‌دار و گندم. ستون ۱. جدایه Pss ساپروفیت به دست آمده از برگ‌های نیشکر؛ ستون ۲. نماینده جدایه‌های بیماری‌زای Pss درختان میوه هسته‌دار؛ ستون ۳ و ۴. نماینده جدایه‌های بیماری‌زای Pss نیشکر (مزرعه شماره ۱)؛ ستون ۵ و ۶. نماینده جدایه‌های بیماری‌زای Pss نیشکر (مزرعه شماره ۲)؛ ستون ۷ و ۱۰. نماینده جدایه‌های بیماری‌زای Pss نیشکر (مزرعه شماره ۳)؛ ستون ۸، ۹، ۱۴ و ۱۵. نماینده جدایه‌های بیماری‌زای Pss نیشکر (مزرعه شماره ۵ و ۶)؛ ستون ۱۱ و ۱۲. نماینده جدایه‌های بیماری‌زای Pss نیشکر (مزرعه شماره ۴)؛ ستون ۱۳. نماینده جدایه‌های بیماری‌زای Pss گندم.

Fig. 1. Polyacrylamide gel electrophoresis of cell proteins of the *Pseudomonas syringae* pv. *syringae* strains pathogenic on sugarcane, stone fruit trees and wheat.

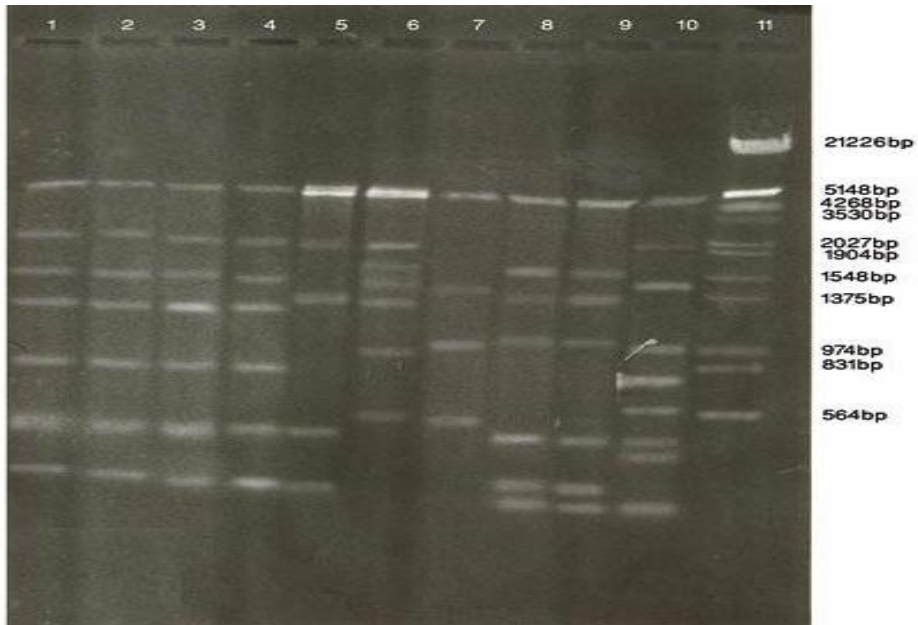
Saprophytic strain Pss isolated from sugarcane leaves (Lane 1), Pss strain from a stone fruit tree (Lane 2). Pathogenic Pss strains of sugarcane from field number 1 (Lanes 3 and 4), pathogenic Pss strains of sugarcane from field number 2 (Lanes 5 and 6), pathogenic Pss strains of sugarcane from field number 3 (Lanes 7 and 10), pathogenic Pss strains of sugarcane from field number 4 (Lanes 11 and 12), pathogenic Pss strains of sugarcane from field number 5 and 6 (Lanes 8, 9, 14 and 15), pathogenic Pss strain from wheat (Lane 13).



شکل ۲. دندروگرام مربوط به ارتباط ژنتیکی میان الگوی اثر انگشت ژنتیکی حاصل از ERIC-PCR (آغازگر ERIC1R) در جدایه‌های نماینده *Pseudomonas syringae* pv. *syringae* بیماری‌زا در نیشکر (۱)،

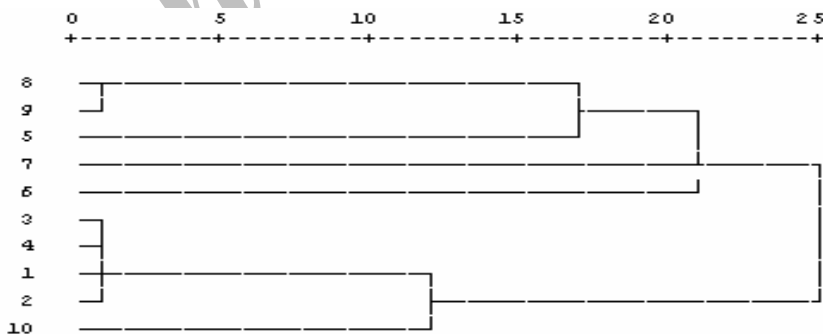
درختان میوه هسته‌دار (۸، ۹ و ۱۰)، گندم (۶) و ختمی خواب‌آلود (۷).

Fig. 2. Dendrogram of the ERIC-PCR generated fingerprints (ERIC 1R primer) of *Pseudomonas syringae* pv. *syringae* isolates pathogenic on sugarcane (Lanes 1, 2, 3, 4 and 5), stone fruit trees (Lanes 8, 9 and 10), wheat (Lane 6) and sleepy mallow (Lane 7).



شکل ۳. اثر انگشت ژنتیکی حاصل از تکثیر DNA ژنومی جدایه‌های *Pseudomonas syringae* pv. *syringae* در ERIC-PCR با آغازگر ERIC2: ستون ۱، ۲، ۳ و ۴. نماینده جدایه‌های Pss بیماری‌زا در نیشکر. ستون ۵. جدایه Pss ختمی خواب‌آلود. ستون ۶. نماینده جدایه‌های Pss گندم. ستون ۷، ۸ و ۹. نماینده جدایه‌های Pss درختان میوه هسته‌دار (به ترتیب از گیلاس، هلو و زردآلو). ستون ۱۰. جدایه اپی فیت جدا شده از نیشکر. ستون ۱۱. استاندارد جرم مولکولی (DNA- Ladder).

Fig. 3. ERIC-PCR fingerprinting of genomic DNA of *Pseudomonas syringae* pv. *syringae* isolats (ERIC2 primer). Pss strains causing sugarcane red streak disease (Lanes 1, 2, 3 and 4), an epiphytic strain of Pss from sugarcane (Lane 10), Pss strain from sleepy mallow (Lane 5), Pss strain from wheat (Lane 6), Pss strains from stone fruit trees (Lanes 7, 8 and 9). DNA molecular size marker (Lane 11).



شکل ۴. دندروگرام الگوی اثر انگشت ژنتیکی حاصل از ERIC-PCR (آغازگر ERIC2) در جدایه‌های نماینده Pss بیماری‌زا در نیشکر (۱، ۲، ۳ و ۴)، درختان میوه هسته‌دار (۷، ۸ و ۹)، گندم (۶)، ختمی خواب‌آلود (۵)، ایزوله اپی فیت جدا شده از نیشکر (۱۰).

Fig. 4. Dendrogram of the ERIC-PCR generated fingerprints (ERIC2 primer) of *Pseudomonas syringae* pv. *syringae* pathogenic on sugarcane (1, 2, 3 and 4), stone fruit trees (7, 8 and 9), wheat (6), sleepy mallow (5) and an epiphytic isolate of Pss from sugarcane (10).

گروه ۳: نماینده جدایه‌های *Pss* عامل نوارقرمز نیشکر،
گروه ۴: نماینده جدایه‌های *Pss* گندم و جدایه *Pss* اپی فیت
نیشکر (شکل ۵).

جدایه‌های *Pss* نیشکر علائم بیماری نوار قرمز را روی
برگ‌های نیشکر مایه‌زنی شده ایجاد نمودند ضمناً جدایه‌های
مذکور قادر به ایجاد بیماری روی گندم، ختمی و هلو نبودند.
غیر بیماری‌زا بودن تعدادی از جدایه‌های گندم، ختمی و هلو بر
روی نیشکر در مطالعات قبلی نیز (Rahimian 1995) مشخص
شده بود.

جدایه‌های *Pss* مولد نوار قرمز نیشکر الگوی پروتئینی
مشابهی داشته و در چندین باند پروتئینی با جدایه‌های *Pss*
بیماری‌زا در درختان میوه هسته‌دار و گندم متفاوت بودند.
تفاوت در نقوش پروتئینی جدایه‌های *Pss* مولد نوار قرمز
نیشکر با جدایه‌های *Pss* مولد شانکر درختان میوه هسته‌دار و
بلایت برگی گندم و جو نخستین بار توسط رحیمیان
گزارش شد (Rahimian 1995) و پس از آن تفاوت میان
الگوی پروتئینی جدایه‌های *Pss* نیشکر با جدایه‌های *Pss*
درختان میوه هسته‌دار، مرکبات و سلمه نیز گزارش شد
(Taghavi & Ziaee 2003). هم‌چنین جدایه‌های *Pss* مولد
شانکر درختان میوه هسته‌دار و بلایت برگی گندم و جو نیز
الگوی پروتئینی مشابهی داشتند. شباهت الگوی پروتئینی
جدایه‌های *Pss* درختان میوه هسته‌دار، گندم و جو
نیز در بررسی‌های ال‌داغی و همکاران نیز گزارش
شده است (Aldaghi et al. 2001).

در این بررسی مشخص گردید که الگوی اثر انگشت
ژنتیکی DNA ژنومی جدایه‌ها با روش ERIC-PCR و BOX-
PCR می‌تواند به‌عنوان روشی مناسب و کارا، جهت تفکیک
جدایه‌های *Pss* نیشکر از جدایه‌های *Pss* عامل شانکر درختان
میوه هسته‌دار و بلایت برگی گندم مورد استفاده قرار گیرد.
الگوی اثر انگشت ژنتیکی جدایه‌های *Pss* مولد بیماری نوار
قرمز نیشکر با هر سه آغازگر (ERIC1R، ERIC2 و BOX) در مقایسه با سایر جدایه‌های

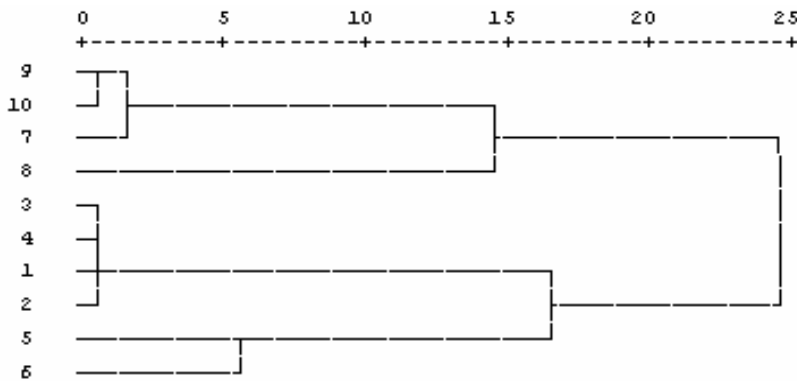
آنالیز داده‌های حاصل از آغازگرهای ERIC2، ERICIR و BOXAIR

نتایج حاصل از تجزیه و تحلیل خوشه‌ای داده‌های
حاصل از ERIC-PCR و BOX-PCR و هر سه
آغازگر (ERIC2، ERICIR و BOXAIR) نشان داد که
جدایه‌های *Pss* نیشکر، درختان میوه هسته‌دار، ختمی و گندم،
در دو گروه قرار می‌گیرند. گروه یک شامل نماینده جدایه‌های
Pss مولد شانکر درختان میوه هسته‌دار، جدایه *Pss* ختمی و
نماینده جدایه‌های *Pss* گندم بوده و گروه دو فقط شامل نماینده
جدایه‌های *Pss* عامل نوارقرمز نیشکر است (شکل ۶).

بحث

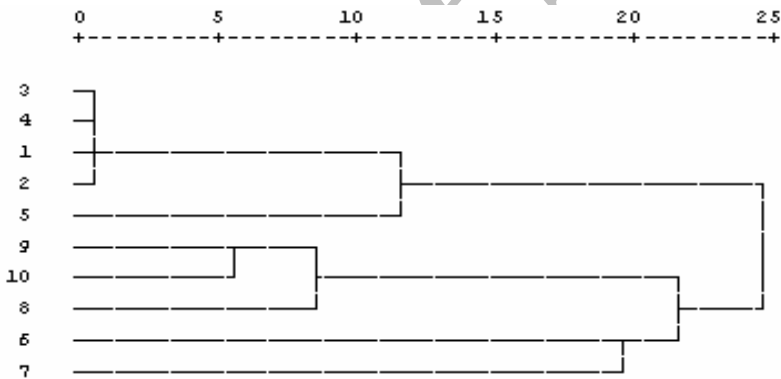
در بررسی حاضر ۵۰ جدایه *Pss* از برگ‌های نیشکر آلوده به
بیماری نوار قرمز نیشکر جدا و ویژگی‌های بیوشیمیایی،
فیزیولوژیکی و الگوی پروتئین‌های سلولی جدایه‌های مذکور
تعیین شد. جدایه‌های عامل بیماری نوار قرمز نیشکر از نظر
ویژگی‌های بیوشیمیایی و الگوی پروتئین‌های سلولی بسیار
مشابه بودند. از نظر میزان و سرعت تولید لوان و
سیرینگواماسین در بین جدایه‌های مولد نوار قرمز نیشکر تفاوت
وجود داشت.

جدایه‌های *Pss* بیماری‌زا در نیشکر از نظر خصوصیات
فنوتیپی با جدایه‌های عامل شانکر درختان میوه هسته‌دار و
بلایت باکتریایی گندم تفاوت داشتند. برخلاف جدایه‌های مولد
نوار قرمز نیشکر، جدایه‌های *Pss* درختان میوه هسته‌دار و گندم
قادر به استفاده از D- تارتارات نبودند. جدایه‌های مولد نوار
قرمز نیشکر با سرعت کمتری تولید لوان نموده و تحذب
کلنی‌های آنها در مقایسه با دیگر جدایه‌های *Pss* مورد مطالعه
کمتر بود. وجود چنین تفاوت‌هایی قبلاً نیز گزارش شده است



شکل ۵. دندروگرام الگوی اثر انگشت ژنتیکی حاصل از BOX-PCR در جدایه‌های نماینده Pss بیماری‌زا در نیشکر (۱، ۲، ۳ و ۴)، درختان میوه هسته‌دار (۷، ۹ و ۱۰)، گندم (۶)، ختمی خواب‌آلود (۸)، جدایه اپی فیت جدا شده از نیشکر (۵).

Fig. 5. Dendrogram of the BOX-PCR generated fingerprints patterns of *Pseudomonas syringae* pv. *syringae* pathogenic on sugarcane (1, 2, 3 and 4), stone fruit trees (7, 9 and 10), wheat (6), sleepy mallow (8) and an epiphytic isolate of Pss from sugarcane (5).



شکل ۶. دندروگرام الگوی اثر انگشت ژنتیکی حاصل از ERIC-PCR و BOX-PCR و هر سه آغازگر (ERIC1R، ERIC2، ERIC1R و BOXA1R) در جدایه‌های Pss بیماری‌زا در نیشکر (۱، ۲، ۳، ۴ و ۵)، جدایه اپی فیت نیشکر (۵)، ختمی خواب‌آلود (۶)، گندم (۷) و درختان میوه هسته‌دار (۸، ۹ و ۱۰).

Fig. 6. Dendrogram of the combined ERIC-PCR and BOX-PCR generated fingerprints patterns (ERIC 1R, ERIC2 and BOX primers) of *Pseudomonas syringae* pv. *syringae* pathogenic on sugarcane (1, 2, 3 and 4), an epiphytic Pss from sugarcane (5), sleepy mallow (6), wheat (7) and stone fruit trees (8, 9 and 10).

گروهی جداگانه قرار گرفته و از نظر ژنتیکی کاملاً متمایز از سایر جدایه‌ها می‌باشند.

آنالیز آماری الگوی اثر ژنتیکی جدایه‌های مورد مطالعه نشان داد که جدایه‌های عامل بیماری نوار قرمز نیشکر با ۹۶ تا ۱۰۰ درصد شباهت در یک گروه قرار گرفته و در سطح تفاوت

مورد بررسی به عنوان الگوی متمایز و منحصر به فرد ارزیابی گردید. مقایسه الگوی اثر انگشت ژنتیکی DNA ژنومی جدایه‌های Pss بیماری‌زا در نیشکر، درختان میوه هسته‌دار، ختمی و گندم با هر سه آغازگر مشخص نمود که جدایه‌های Pss مولد نوار قرمز نیشکر همواره در

ایجاد بیماری در درختان میوه نبودند. نتایج این بررسی نشان داد که جدایه‌های با توان تولید سیرینگومایسین براساس الگوی اثر انگشت ژنتیکی حاصل از ERIC-PCR در دو گروه قرار می‌گیرند. هم‌چنین مشخص گردید که استرین‌های جدا شده از غلات، مرکبات، حبوب و گندم اگر چه گروه مهمی از *Pss*‌های بیماری‌زا را تشکیل می‌دهند، ولی در سطح زیر گونه هتروژن بوده و در تجزیه و تحلیل خوشه‌ای در ۷ گروه ژنتیکی قرار می‌گیرند (Cirvilleri et al. 2005).

الگوهای انگشت‌نگاری ژنتیکی مبتنی بر وجود توالی‌های تکراری ژنوم باکتری‌ها نمی‌توانند به‌عنوان معیاری قطعی و تعیین‌کننده در طبقه‌بندی به‌کار گرفته شود.

نتایج حاصل از بررسی اخیر با تأیید جایگاه جداگانه و متمایز جدایه‌های *Pss* عامل بیماری نوار قرمز نیشکر در بین جدایه‌های مورد بررسی می‌تواند نشانه‌ای از متمایز بودن جدایه‌های *Pss* نیشکر در سطح پاتوار محسوب گردد. البته لازم است تعداد بیشتری از جدایه‌های عامل بیماری نوار قرمز نیشکر مورد مطالعات کامل و دقیق ژنتیکی قرار گیرند تا بتوان با قاطعیت در مورد جایگاه تاکسونومیک عامل بیماری نوار قرمز نیشکر اظهار نظر نمود.

منابع

جهت ملاحظه به صفحات (1-2) متن انگلیسی مراجعه شود.

۲۵ درصد از سایر جدایه‌ها متمایز می‌گردند. این یافته‌ها تأیید کننده جایگاه تاکسونومیک جداگانه و متمایز جدایه‌های *Pss* عامل بیماری نوار قرمز نیشکر در بین سایر جدایه‌های بررسی شده است.

به نظر می‌رسد که این نتایج تأیید بر وجود اختصاصیت میزبانی درون پاتوار *Pss* است که توسط لیتل و همکاران (Little et al. 1998) پیشنهاد شده است. این محققین با بررسی الگوی اثر انگشت ژنتیکی حاصل از ERIC-PCR دریافتند که جدایه‌های *Pss* عامل شانکر درختان میوه هسته‌دار بسیار به هم شبیه بوده و از نظر ژنتیکی از استرین‌های *Pss* جدا شده از محصولات زراعی و علف‌های هرز متمایز می‌گردند. در بررسی‌های دیگری نیز مشخص گردیده است که جدایه‌های *Pss* بیماری‌زا در حبوب هم از نظر ژنتیکی و هم از نظر فنوتیپی متمایز از سایر جدایه‌ها هستند (Legard et al. 1993, Saad & Hagedorn 1972). از طرف

دیگر Cirvilleri و همکاران (Cirvilleri et al. 2005) دریافتند که بیماری‌زایی روی غلاف لوبیا منحصر به جدایه‌های جدا شده از حبوبات نبوده و طیف وسیعی از استرین‌های *Pss* جدا شده از مرکبات، سیب، درختان میوه هسته‌دار و گندم روی غلاف لوبیا قادر به ایجاد بیماری می‌باشند. هم‌چنین مشخص شد که تمام جدایه‌هایی که قادر به تولید سیرینگومایسین هستند قادر به ایجاد بیماری روی مرکبات و درختان میوه هسته‌دار می‌باشند درحالی‌که جدایه‌های فاقد توان تولید سیرینگومایسین قادر به